

05:07

Особенности динамики оптических импульсов в киральной диспергирующей среде

© И.О. Золотовский, Д.И. Семенцов

Ульяновский государственный университет,
432700 Ульяновск, Россия

(Поступило в Редакцию 24 марта 2006 г. В окончательной редакции 8 сентября 2006 г.)

Исследована динамика частотно-модулированного импульса в невзаимной киральной изотропной среде. Показано, что различие групповых скоростей и несущих частот циркулярных компонент импульса приводит к его разделению как по длине световода, так и в спектральном диапазоне. Наличие существенной частотной зависимости материальных параметров может привести к асимметричной динамике электрической и магнитной компонент импульса в различных частотных интервалах. Установлена возможность возникновения сверхсветовых волн огибающей для каждой компоненты волнового поля.

PACS: 79.20.-m

Введение

В настоящее время наблюдается большой интерес к исследованию оптических и высокочастотных свойств киральных сред, что связано со специфическими особенностями рассеяния электромагнитных волн на киральных объектах [1–6]. К киральным относятся среды, содержащие зеркально-асимметричные элементы, обеспечивающие оптическую активность среды, выражающуюся в ее гиротропии. Наличие подобного рода оптической активности приводит к тому, что собственными волнами среды являются волны с противоположными круговыми поляризациями и различными постоянными распространения. В связи с этим киральность среды снимает поляризационное вырождение мод и поэтому может эффективно использоваться для создания одномодовых однополяризационных волоконных световодов [5,6]. Зависимость материальных параметров киральных сред от частоты наделяет их богатым набором электродинамических свойств. Практическое использование киральных сред может существенно расширить возможности как многочисленных СВЧ-устройств, так и систем интегральной и волоконной оптики.

Наряду с особенностями отклика киральной среды на монохроматическое излучение интерес представляет также анализ взаимодействия с киральной средой волновых пакетов и, в частности, коротких оптических импульсов. В этой связи в настоящей работе исследуются особенности распространения частотно-модулированного волнового пакета в киральной среде, связанные с асимметричной динамикой электрической и магнитной составляющих волнового поля при учете частотной зависимости материальных параметров среды.

Поле монохроматической волны

Материальные уравнения для невзаимной киральной среды в режиме гармонического сигнала в гауссовой

системе единиц могут быть представлены следующим образом:

$$\begin{aligned} \mathbf{D} &= \varepsilon \mathbf{E} + (\lambda - i\chi) \mathbf{H}, \\ \mathbf{B} &= \mu \mathbf{H} + (\lambda + i\chi) \mathbf{E}, \end{aligned} \quad (1)$$

где ε и μ — диэлектрическая и магнитная проницаемости, λ и χ — безразмерные параметры невзаимности и киральности среды [2,6].

Вначале рассмотрим распространение в киральном световоде монохроматической волны. Подставив материальные уравнения (1) в уравнения Максвелла для волны с временной зависимостью, пропорциональной фактору $\exp(i\omega t)$, получим

$$\begin{aligned} \operatorname{rot} \mathbf{E} + ik_0(\lambda + i\chi) \mathbf{E} &= -ik_0 \mu \mathbf{H}, \\ \operatorname{rot} \mathbf{H} - ik_0(\lambda - i\chi) \mathbf{H} &= ik_0 \varepsilon \mathbf{E}, \end{aligned} \quad (2)$$

где $k_0 = \omega/c$, ω и c — частота и скорость света в вакууме. В случае распространения волны вдоль оси z и однородности среды в поперечном направлении производные $\partial/\partial x = \partial/\partial y = 0$. При этом электрическое и магнитное волновые поля содержат только компоненты x и y , описываемые системой двух связанных уравнений для каждого из полей. При переходе к циркулярным компонентам $E_{\pm} = (E_x \pm iE_y)/\sqrt{2}$ и $H_{\pm} = (H_x \pm iH_y)/\sqrt{2}$ уравнения (2) расщепляются и принимают вид

$$\left(\frac{d^2}{dz^2} \pm 2i\chi k_0 \frac{d}{dz} + k_0^2(\varepsilon\mu - \lambda^2 - \chi^2) \right) \begin{pmatrix} E_{\pm} \\ H_{\pm} \end{pmatrix} = 0. \quad (3)$$

Считая зависимость полей от координаты z , пропорциональной фактору $\exp(-i\beta z)$, получаем из (3) выражения для констант распространения собственных волн кирального световода $\beta_{\pm} = k_0(\sqrt{\varepsilon\mu - \lambda^2} \pm \chi)$. При этом фазовые скорости собственных (медленной и быстрой) волн определяются выражением $v_{\pm} = \omega/\beta_{\pm}$, из которого следует, что киральность среды снимает вырождение по скорости распространения собственных волн. Соответствующие компоненты волнового поля могут быть

представлены в виде

$$\left. \begin{array}{l} E_{\pm}(t, z) \\ H_{\pm}(t, z) \end{array} \right\} = \left\{ \begin{array}{l} A_{\pm} \\ B_{\pm} \end{array} \right\} \exp(i(\omega t - \beta_{\pm} z)), \quad (4)$$

где амплитуды A_{\pm} и B_{\pm} являются постоянными величинами в случае однородной среды. Используя соотношения для полей и констант распространения циркулярно поляризованных волн, запишем для импеданса электромагнитного поля в киральной среде $Z_{\pm} = Z'_{\pm} - iZ''_{\pm} = E_{\pm}/H_{\pm}$ следующие выражения:

$$Z_{\pm} = -\frac{\lambda \pm i(\epsilon\mu - \lambda^2)^{1/2}}{\epsilon} = -\frac{\mu}{\lambda \mp i(\epsilon\mu - \lambda^2)^{1/2}}. \quad (5)$$

Если материальные параметры являются вещественными, для действительных и мнимых частей импедансов циркулярных волн получаем $Z'_{\pm} = -\lambda/\epsilon$, $Z''_{\pm} = \mp\sqrt{\epsilon\mu - \lambda^2}/\epsilon$. При этом модули импедансов право- и левополяризованных волн одинаковы, т.е. $|Z_{\pm}| = |Z_0| = \sqrt{\mu/\epsilon}$. Поскольку $|Z_{\pm}|$ определяет отношение амплитуд электрической и магнитной компонент соответствующих волн, то равенства $|A_+/B_+| = |A_-/B_-| = \sqrt{\mu\epsilon}$ отвечают классической ситуации, при которой это отношение постоянно и одинаково для обеих циркулярных компонент монохроматической волны в любой точке однородной среды. В случае $\lambda = 0$ имеет место сдвиг по фазе на $\mp\pi/2$ электрической и магнитной составляющих поля циркулярных волн.

Поле волнового пакета

Если вводимое в среду волновое поле представляет собой волновой пакет конечной длительности t_0 , решение уравнений Максвелла для электрической и магнитной составляющих может быть также представлено в виде (4). При этом, однако, амплитуды A_{\pm} и B_{\pm} являются функциями координат и времени, а именно медленно меняющимися функциями по сравнению с быстро осциллирующими функциями $\exp(-i\beta_{\pm}z)$ и $\exp(-i\omega t)$. Последнее верно, если спектральная ширина волнового пакета $\Delta\omega$ много меньше несущей частоты ω_0 . В первом дисперсионном приближении указанные амплитуды описываются системой уравнений

$$\begin{aligned} \frac{\partial A_{\pm}}{\partial z} + \frac{1}{v_{1\pm}} \frac{\partial A_{\pm}}{\partial t} &= -\psi_{1\pm} \frac{\partial B_{\pm}}{\partial t}, \\ \frac{\partial B_{\pm}}{\partial z} + \frac{1}{v_{2\pm}} \frac{\partial B_{\pm}}{\partial t} &= -\psi_{2\pm} \frac{\partial A_{\pm}}{\partial t}, \end{aligned} \quad (6)$$

где введены следующие параметры:

$$\begin{aligned} v_{j\pm}^{-1} &= \{\partial(\omega^2(\mu\epsilon - (\lambda + (-1)^j i\chi)^2))/\partial\omega\}_0/2\beta_{\pm}c^2, \\ \psi_{1\pm} &= -i\{\partial(\omega^2\mu\chi)/\partial\omega\}_0/\beta_{\pm}c^2, \\ \psi_{2\pm} &= i\{\partial(\omega^2\epsilon\chi)/\partial\omega\}_0/\beta_{\pm}c^2, \end{aligned}$$

а значения входящих в (6) производных берутся на несущей частоте. Поскольку для каждой монохроматической компоненты $A_{\pm}/B_{\pm} = Z_{\pm} = \text{const}$, то в линейном случае эта величина является постоянной и для импульса в целом. С учетом этого систему (6) можно переписать в виде

$$\begin{aligned} \frac{\partial A_{\pm}}{\partial z} + \frac{1}{v_{1\pm}} \frac{\partial A_{\pm}}{\partial t} &= -\psi_{1\pm} Z_{\pm}^{-1} \frac{\partial A_{\pm}}{\partial t}, \\ \frac{\partial B_{\pm}}{\partial z} + \frac{1}{v_{2\pm}} \frac{\partial B_{\pm}}{\partial t} &= -\psi_{2\pm} Z_{\pm} \frac{\partial B_{\pm}}{\partial t} \end{aligned} \quad (7)$$

или

$$\left(\frac{\partial}{\partial z} + \frac{1}{v_{\pm}} \frac{\partial}{\partial t} \right) \begin{pmatrix} A_{\pm} \\ B_{\pm} \end{pmatrix} = 0, \quad (8)$$

где введена величина, которая может считаться эффективной групповой скоростью волнового пакета в киральной среде

$$v_{\pm} \equiv \frac{v_{1\pm}}{1 + v_{1\pm}\psi_{1\pm}/Z_{\pm}} = \frac{v_{2\pm}}{1 + v_{2\pm}\psi_{2\pm}/Z_{\pm}}. \quad (9)$$

Выражение для импеданса киральной диспергирующей среды может быть получено из системы (9) и записано следующим образом:

$$Z_{\pm} = \frac{1}{2\psi_{2\pm}} \left(\frac{1}{v_{1\pm}} - \frac{1}{v_{2\pm}} \pm \sqrt{\left(\frac{1}{v_{1\pm}} - \frac{1}{v_{2\pm}} \right)^2 + 4\psi_{1\pm}\psi_{2\pm}} \right). \quad (10)$$

Если среда не обладает невзаимностью, т.е. $\lambda = 0$ и $v_{1\pm} = v_{2\pm}$, то выражение для импеданса принимает более простой вид $Z_{\pm} = \pm\sqrt{\psi_{1\pm}/\psi_{2\pm}}$. Знаки перед вторым слагаемым в (10) отвечают предельному переходу к выражению для недиспергирующей или слабодиспергирующей сред, для которых можно считать $\partial(\lambda, \chi, \mu, \epsilon)/\partial\omega \cong 0$.

Выражение для эффективной групповой скорости волнового пакета в общем случае может быть представлено через материальные параметры следующим образом:

$$\begin{aligned} v_{\pm} &= \frac{2c\omega_0(\sqrt{\epsilon\mu - \lambda^2} \mp \chi)}{\frac{\partial}{\partial\omega}(\omega^2(\epsilon\mu - \lambda^2 - \chi^2))_0 \pm} \\ &\quad \pm 2\sqrt{(\partial\omega^2\mu\chi/\partial\omega)_0(\partial\omega^2\epsilon\chi/\partial\omega)_0 - (\partial\omega^2\lambda\chi/\partial\omega)_0^2}. \end{aligned} \quad (11)$$

Если v_{\pm} является действительной величиной, то она полностью тождественна скорости максимума огибающей волнового пакета в киральной среде. В случае недиспергирующей среды скорость, определяемая выражением (11), как и следовало ожидать, оказывается равной групповой и фазовой скоростям циркулярных монохроматических волн.

Если же v_{\pm} имеет отличную от нуля мнимую составляющую, то скорость максимума огибающей существенно зависит от формы вводимого волнового пакета. Будем считать, что в световод вводится частотно-модулированный гауссов импульс, для амплитуд электрической и магнитной компонент которого на входе

($z = 0$) справедливы соотношения

$$A_{\pm}(t, 0) = \rho_{0\pm} \exp\left(-\frac{(1 + i\alpha_0)t^2}{2t_0^2}\right),$$

$$B_{\pm}(t, 0) = Z_{\pm}A_{\pm}(t, 0),$$

где α_0 и t_0 — начальная скорость частотной модуляции и длительность импульса, одинаковые на входе в световод для электрической и магнитной компонент. При этом решения уравнений (8) могут быть представлены в виде

$$A_{\pm}(t, z) = \rho_{0\pm} \exp\left(-\frac{\tau_{\pm}^2 - (1 + \alpha_0^2)k_{\pm}''^2 z^2}{2t_0^2}\right) \times \exp(i\phi_{\pm}(t, z)), \quad B_{\pm} = Z_{\pm}A_{\pm}, \quad (13)$$

где фазы соответствующих циркулярных компонент поля в импульсе

$$\phi_{\pm} = (\alpha_0\tau_{\pm}^2 + 2\tau_{\pm}(1 + \alpha_0^2)k_{\pm}''^2 z + \alpha_0(\alpha_0^2 + 1)k_{\pm}''^2 z^2)/2t_0^2. \quad (14)$$

Здесь введены бегущее время для каждой из циркулярных компонент импульса $\tau_{\pm} = t - z/u_{\pm}$, параметры

$$k'_{\pm} = \text{Re}(v_{\pm}^{-1}) = v'_{\pm}/|v_{\pm}|^2,$$

$$k''_{\pm} = \text{Im}(v_{\pm}^{-1}) = v''_{\pm}/|v_{\pm}|^2$$

и скорость максимума огибающей волнового пакета (в случае комплексности параметра v_{\pm}):

$$u_{\pm} = |v_{\pm}|^2(v'_{\pm} - \alpha_0 v''_{\pm})^{-1}. \quad (15)$$

Отметим, что комплексность параметра v_{\pm} возможна даже при действительности материальных параметров, т.е. $\text{Im}(\epsilon, \mu, \lambda, \chi) \cong 0$; например, при $\lambda = 0$ и $\psi_{1\pm}\psi_{2\pm} < 0$ либо при $\epsilon\mu < \lambda^2$ (выполнение данного условия возможно в области сильной частотной дисперсии параметров ϵ или μ).

Из определения скорости u_{\pm} следует, что при распространении частотно-модулированного импульса в киральной среде имеется принципиальная возможность достижения сверхсветовой скорости для максимумов огибающих циркулярных составляющих импульсов, т.е. $u_{\pm} > c$. Для более детального понимания подобной динамики волнового пакета в киральном световоде перейдем к спектральному представлению амплитуд электрического и магнитного полей. Так, спектральное представление амплитуды электрического поля дается выражением

$$\tilde{A}_{\pm}(\Omega, z) = \frac{1}{2\pi} \int_{-\infty}^{\infty} A_{\pm}(\tau, z) \exp(-i\Omega\tau) d\tau, \quad (16)$$

где $\Omega = \omega - \omega_0$ — отстройка от несущей частоты. Подставив в (20) решения (13) для амплитуд A_{\pm} , получим выражения для их спектральных компонент

$$\tilde{A}_{\pm}(\Omega, z) = \rho_{0\pm} \left(\frac{t_0}{2\pi\Delta\omega}\right)^{1/2} \times \exp\left(-\frac{\Omega^2}{2\Delta\omega^2} + k''_{\pm}\Omega z + i\phi(\Omega)\right), \quad (17)$$

$$\tilde{B}_{\pm}(\Omega, z) = Z_{\pm}\tilde{A}_{\pm}(\Omega, z),$$

где $\Delta\omega = \sqrt{1 + \alpha_0^2}/t_0$ — спектральная ширина вводимого в световод импульса. В соответствии с (17) максимум огибающей приходится на частоту, которая оказывается отличной от ω_0 и зависящей от проходного импульсом по световоду расстояния

$$\omega_{0\pm} = \omega_0 + k''_{\pm}\Delta\omega^2 z = \omega_0 + k''_{\pm}(1 + \alpha_0^2)z/t_0^2 \quad (18)$$

и которая фактически является эффективной несущей частотой медленной или быстрой компонент импульса соответственно. Таким образом, при $k''_{\pm} \neq 0$ происходит не только пространственное разбегание максимумов огибающих медленной и быстрой составляющих полей с константами распространения β_+ и β_- , но и их спектральное разделение при наличии у параметра v_{\pm} мнимой составляющей. Отстройка несущих частот циркулярных компонент друг от друга $\Delta\omega_{\pm} = \omega_{0+} - \omega_{0-}$ во многом определяется начальным значением скорости частотной модуляции и пройденным по световоду расстоянием, т.е.

$$\Delta\omega_{\pm} = (k''_+ - k''_-)(1 + \alpha_0^2)z/t_0^2. \quad (19)$$

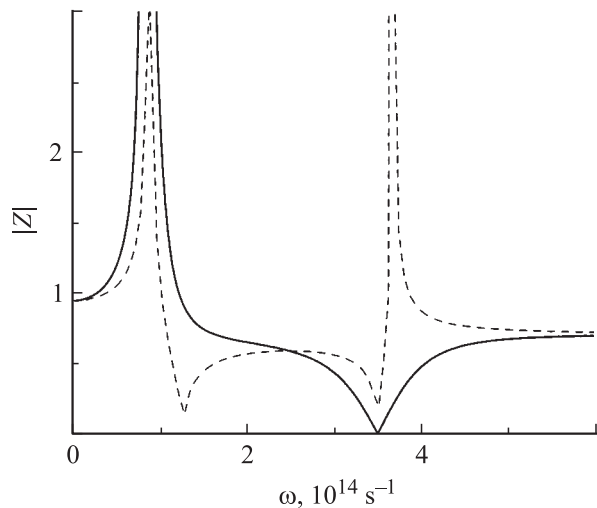
Таким образом, при достаточно больших расстояниях, проходимых волновым пакетом по световоду, может иметь место существенная его трансформация (переформирование) [7,8]. Эффектом переформирования, при котором резко усиливается передний фронт импульса, объясняется сверхсветовая скорость максимума огибающей в усиливающих средах [9,10]. В киральной среде указанный эффект может быть связан с тем, что материальные параметры являются сильно диспергирующими величинами. При этом, если скорость максимума огибающей превышает фазовую скорость на несущей частоте $u_{\pm}(\omega_0) > \omega_0/\beta_{\pm}(\omega_0)$, то в среде должно возникать излучение черенковского типа с углом черенковского переизлучения, определяемого соотношением $\theta_{\pm} \cong \arccos(\omega_0/u_{\pm}(\omega_0)\beta_{\pm}(\omega_0))$.

Эффективный импеданс волнового пакета

Рассмотрим поведение параметра, характеризующего отношение амплитуд магнитного и электрического полей и, следовательно, относительную эволюцию электрического и магнитного полей в волновом пакете

$$\xi = \frac{|E|}{|H|} = \left(\frac{|A_+|^2 + |A_-|^2}{|B_+|^2 + |B_-|^2}\right)^{1/2} = \left(\frac{|Z_+B_+|^2 + |Z_-B_-|^2}{|B_+|^2 + |B_-|^2}\right)^{1/2}. \quad (20)$$

В случае равенства нулю параметра невязимости λ в (20) $|Z_{\pm}| = |Z|$ и параметр $\xi = |Z|$ является постоянной величиной, т.е. отношение электрического и магнитного полей в волновом пакете является постоянным



Частотная зависимость модуля импеданса среды с дисперсией материальных параметров для импульса (сплошная линия) и для монохроматического излучения (пунктир).

в любой точке z в любой момент времени t . В этом случае можно говорить о классической динамике волновых компонент электрического и магнитного полей, при которой эффективный импеданс киральной среды является постоянной величиной, не зависящей от z и t . В случае комплексных величин $\psi_{j\pm}$ выражение для модуля импеданса циркулярных волн имеет вид $|Z_{\pm}| = |Z| = \sqrt{|\psi_{2\pm}|/|\psi_{1\pm}|}$, из которого следует существенная зависимость отношения электрической и магнитной компонент в импульсе от его несущей частоты. В частности, если от частоты зависят параметры ϵ и μ , а $\chi = \text{const}$ в заданном частотном диапазоне, то выражение для модуля импеданса принимает вид

$$|Z| = |Z_0| \left(\left| 1 + \frac{\omega}{2\mu} \frac{\partial \mu}{\partial \omega} \right| \left/ \left| 1 + \frac{\omega}{2\mu} \frac{\partial \epsilon}{\partial \omega} \right| \right)_{\omega=\omega_0}^{1/2}. \quad (21)$$

На рисунке приведена частотная зависимость модуля импеданса импульса, определяемого выражением (21). Частотная дисперсия материальных параметров киральной среды может быть задана характерными зависимостями

$$\begin{aligned} \epsilon(\omega) &= 1 + \frac{\omega_p^2}{\omega_{0e}^2 - \omega + i\gamma_e\omega}, \\ \mu(\epsilon) &= 1 + \frac{F\omega^2}{\omega_{0m}^2 - \omega + i\gamma_m\omega}. \end{aligned} \quad (22)$$

Входящие в (22) значения следующие: $\omega_p = 1.2 \cdot 10^{14} \text{ s}^{-1}$, $\omega_{0e} = 3.5 \cdot 10^{14} \text{ s}^{-1}$, $\omega_{0m} = 8.9 \cdot 10^{13} \text{ s}^{-1}$, $F = 0.5$ и для простоты принято $\gamma_e = \gamma_m = 0$. Видно, что в областях, где проявляется сильная частотная дисперсия материальных параметров, $|Z| \ll 1$ либо $|Z| \gg 1$, т.е. имеет место преобладание электрической либо магнитной компонент в импульсе даже в том случае, когда диэлектрическая и магнитная проницаемости среды на

несущей частоте являются величинами одного порядка. Для монохроматической волны указанный эффект также имеет место в области существенной частотной дисперсии, однако он проявляется в более узких частотных диапазонах, чем для импульсного излучения (пунктир).

Сценарий динамики волнового пакета с зависящим от времени и координаты эффективным импедансом, как следует из (20), реализуется только в случае отличного от нуля коэффициента невязимности λ , при котором $|Z_+| \neq |Z_-|$ и параметр ξ зависит от времени и координаты. Если же $\xi = \xi(t, z)$, то вместе с ним и отношение магнитного и электрического волновых полей в киральной среде сложным образом зависит от времени и координаты.

Проведенный анализ также показывает, что для импульса в невязимной киральной среде различаются скорости максимумов огибающих соответствующих циркулярных компонент, т.е. $u_+ \neq u_-$. В результате происходит его распад на быструю и медленную составляющие. Эффект распада становится наиболее существенным, если параметры v_{\pm} являются комплексными величинами. В этом случае динамика распадающегося волнового пакета сильно зависит от начального значения скорости частотной модуляции α_0 . При этом для частотно-модулированного импульса скорость максимума огибающей может оказаться большей для импульса с меньшей фазовой скоростью, и наоборот. Выявленные особенности распространения волновых пакетов в киральных световодах являются следствием не только особых свойств рассматриваемой среды, но и проявлением импульсной динамики сигналов в сильно диспергирующих средах.

Список литературы

- [1] Третьяков С.А. // Р и Э. 1994. Т. 39. № 2. С. 184–192; № 10. С. 1457–1463.
- [2] Федоренко А.И. // Р и Э. 1995. Т. 40. № 3. С. 381–393.
- [3] Костин М.В., Шевченко В.В. // Р и Э. 1998. Т. 43. № 8. С. 921–926.
- [4] Аветисов В.А., Гольдманский В.И. // УФН. 1996. Т. 166. № 8. С. 873–891.
- [5] Каценеленбум Б.З., Коршунова Е.Н., Сивов А.Н. и др. // УФН. 1997. Т. 167. № 1. С. 1201–1212.
- [6] Демидов С.В., Шевченко В.В. // Р и Э. 2002. Т. 47. № 1. С. 1285–1290.
- [7] Ораевский А.Н. // УФН. 1998. Т. 168. № 12. С. 1311–1321.
- [8] Курицки Г., Кожекин А.Е., Кофман А.Г., Блаубор М. // Опт. и спектр. 1999. Т. 87. № 4. С. 551–560.
- [9] Золотов А.В., Золотовский И.О., Семенов Д.И. // Письма в ЖТФ. 2001. Т. 27. Вып. 17. С. 22–26.
- [10] Золотовский И.О., Семенов Д.И. // Опт. и спектр. 2001. Т. 91. № 1. С. 138–143.